

سینتیک کاهش قندهای احیا کننده، تشکیل آکریل آمید و تغییرات رنگ طی سرخ کردن خلال سبب زمینی

حامد بیکی^{۱*}، ناصر همدانی^۲، محمد شاهدی باغ خندان^۳، سید امیر حسین گلی^۴،
جلال پور تقی^۵ و محمد آریاشاد^۶

- ۱- کارشناس ارشد مهندسی صنایع غذایی، دانشکده کشاورزی، دانشگاه صنعتی اصفهان
 - ۲- دانشیار، دانشکده کشاورزی، دانشگاه صنعتی اصفهان
 - ۳- استاد، دانشکده کشاورزی، دانشگاه صنعتی اصفهان
 - ۴- استادیار، دانشکده کشاورزی، دانشگاه صنعتی اصفهان
 - ۵- کارشناس مهندسی صنایع غذایی، دانشکده کشاورزی، دانشگاه فردوسی مشهد
 - ۶- کارشناس مهندسی صنایع غذایی، عضو هیأت مدیره مجموعه کارخانجات آستان قدس رضوی
- (تاریخ دریافت: ۹۵/۰۲/۱۷ تاریخ پذیرش: ۹۶/۰۱/۲۱)

چکیده

با توجه به احتمال سرطان زا بودن آکریل آمید، گسترش روز افزون صنایع محصولات سرخ شده سبب زمینی و مصرف بالای محصولات مذکور در کشور، بررسی و مدل‌سازی پدیده‌های درگیر در فرآیند محصولات مذکور ضروری به نظر می‌رسد. هدف از این مطالعه بررسی سینتیک کاهش قندهای احیا کننده، تشکیل آکریل آمید و تغییرات رنگ طی سرخ کردن خلال سبب زمینی بود. نتایج بررسی‌ها نشان داد که کاهش قندهای احیا کننده و تشکیل آکریل آمید طی سرخ کردن با الگوی نمایی صورت می‌گیرد و افزایش دما و زمان سرخ کردن به طور معنی دار ($P < 0.05$) سبب تشدید فرایندهای مذکور می‌گردد. افزایش دمای سرخ کردن از سوی دیگر سبب کاهش معنی دار ($P < 0.05$) شاخص تیرگی-روشنی و افزایش معنی دار ($P < 0.05$) شاخص‌های قرمزی-سبزی و زردی-آبی خلال‌ها گردید. با افزایش زمان سرخ کردن شاخص‌های تیرگی-روشنی و زردی-آبی ابتدا افزایش ($P < 0.05$) یافته و سپس تقریباً ثابت گردیدند در حالی که شاخص قرمزی-سبزی به صورت خطی افزایش ($P < 0.05$) یافت. نتایج همچنین نشان داد که سینتیک نمایی بیشترین انطباق را با نتایج آزمایشگاهی مربوط به کاهش قندهای احیا کننده و تشکیل آکریل آمید دارد. بر اساس نتایج تغییرات شاخص‌های رنگی تیرگی-روشنی و زردی-آبی طی سرخ کردن از سینتیک درجه اول با اثر محدود کنندگی محصول تعیت می‌کند در حالی که سینتیک درجه صفر بیشترین انطباق را با تغییرات شاخص رنگی قرمزی-سبزی خلال نشان داد.

کلید واژگان: آکریل آمید، سرخ کردن، شاخص‌های رنگی، قند احیا کننده، مدل سینتیکی.

* مسئول مکاتبات: h.beyki@ag.iut.ac.ir

وجود مقادیر بالای آسپارژین ($mg/100g$) ۹۳/۹ در سبب زمینی، واکنش میلارد به عنوان محتمل‌ترین مسیر تشكیل آکریل آمید در چیپس و خلال سرخ شده سبب زمینی عنوان شده است [۱۲]. پتانسیل تشكیل آکریل آمید به میزان بسیار زیادی به مقدار قندهای احیا کننده در ماده خام اولیه بستگی دارد. گزارش شده است که کاهاش میزان قندهای احیا کننده از طریق آنزیم بری قبل از سرخ کردن، سبب کاهاش آکریل آمید به میزان حدود ۶/۰٪ در ورقه سبب زمینی می‌شود [۱۴]. واریته سبب زمینی و شرایط فرآیند (پیش تیمارها، دما و زمان فرآیند) تأثیر چشمگیری بر میزان تشكیل آکریل آمید در محصول نهایی داردند [۱۲]. گزارش شده است که کاهاش محتوای رطوبت محصول سبب تشدید واکنش میلارد می‌شود و در مورد خلال سبب زمینی با توجه به شرایط مطلوب سطح خلال از نظر محتوای رطوبت پایین‌تر، تشكیل آکریل آمید "عدمتاً" در سطح خلال و نواحی نزدیک به سطح صورت می‌گیرد بنابراین با کاهاش غلظت پیش‌سازهای آکریل آمید در سطح خلال می‌توان سبب کاهاش آکریل آمید در محصول گردید [۷]. در ارتباط با مدل سازی‌های انجام شده در زمینه آکریل آمید می‌توان به مدل‌های تجربی ارائه شده جهت پیش‌بینی میزان آکریل آمید طی سرخ کردن ورقه‌های سبب زمینی اشاره نمود [۱۵]. یک مدل ریاضی نیز با استفاده توأم از انتقال جرم و حرارت جهت پیش‌بینی مقدار آکریل آمید طی سرخ کردن خلال سبب زمینی در دمای $170^{\circ}C$ ارائه شده است [۷]. در مطالعه دیگری سینتیک تشكیل آکریل آمید طی فرآیند حرارتی گیاه بارهنگ تحت تأثیر غلظت پیش‌سازها و فعالیت آبی مدل سازی شده است [۱۶]. رنگ محصولات سرخ شده سبب زمینی شاخص کیفی مهمی است که باید طی فرآیند توأم با دیگر شاخص‌های کیفی از قبیل محتوای آکریل آمید، روغن و بافت کنترل گردد [۱۷]. پیگمان‌های رنگی سبب زمینی سرخ شده در اثر واکنش میلارد تشكیل می‌شوند و مقدار آن‌ها بستگی به عواملی نظیر غلظت سطحی قندهای احیا کننده دما و زمان سرخ کردن، نوع روغن و اندازه نمونه‌ها دارد [۱۲]. گزارش شده است که میزان قندهای احیا کننده طی نگهداری سبب زمینی در انبادراری در دماهای پایین افزایش می‌باید و تجمع این قندها در بافت سبب زمینی سبب تشدید قهوه‌ای شدن محصول نهایی می‌گردد [۱۸]. جهت کاهاش میزان قندهای احیا کننده سبب زمینی را قبل از فرآیند به مدت ۱-۳ هفته در دمای $21^{\circ}C$ نگهداری می‌کنند [۱۹]. گزارش شده است که پیش خشک کردن خلال‌های

۱- مقدمه

سبب زمینی با تولید جهانی بیش از ۳۲۵ میلیون تن در سال، محصول غیر دانه‌ای شماره یک جهان است [۱]. ارزش غذیه-ای سبب زمینی با وجود اینکه بعد از برنج، گندم و ذرت مهمترین منبع غذایی تأمین کننده ارثی به شمار می‌رود [۲] و منبع غنی آنتی اکسیدان‌هایی از قبیل اسید آسکوربیک (۸-۵۴ میلی گرم در ۱۰۰ گرم)، ترکیبات پلی فنولی ۱۲۳-۴۴۱ (میلی گرم در ۱۰۰ گرم)، کاروتونوئیدها (بیشتر از $0/4$ میلی گرم در ۱۰۰ گرم) و توکوفرول (بیشتر از $0/3$ میلی گرم در ۱۰۰ گرم) می‌باشد، نادیده گرفته شده است [۳]. یکی از مشهورترین محصولات سبب زمینی، خلال سرخ شده سبب زمینی می‌باشد. به طور معمول خلال سبب زمینی به قطعاتی از سبب زمینی به طول تقریبی ۷ - ۶ سانتی متر و سطح مقطع ۱ سانتی متر مربع اطلاق می‌گردد که در روغن داغ سرخ می‌شوند [۴]. با توجه به اینکه سبب زمینی "عدمتاً" به صورت سرخ شده یا پخته شده مصرف می‌شود بنابراین تیمار حرارتی به طور وسیع در فراوری آن به کار می‌رود [۵]. تیمارهای حرارتی از فیل پختن، بو دادن و سرخ کردن فرآیندهایی ضروری جهت ایجاد خصوصیات حسی، رنگی، بافتی و طعمی ویژه در مواد غذایی می‌باشند [۶]. تیمارهای مذکور همچنین می‌توانند سبب تحریک تشكیل ترکیبات آنتی اکسیدان و ضد میکروبی در مواد غذایی شوند. با این وجود تشكیل ترکیبات مضر نیز یکی از پیامدهای مهم فرآیند حرارتی مواد غذایی است [۷]. در آپریل سال ۲۰۰۲ نخستین گزارشات مبنی بر تشخیص آکریل آمید در برخی از مواد غذایی پخته و سرخ شده به ویژه چیپس و خلال سرخ شده سبب زمینی منتشر شد [۸]. آکریل آمید جزء ترکیبات مشکوک به سرطان زایی در انسان طبقه بندی شده و سرطان زایی آن در موش به اثبات رسیده است [۹]. گزارش شده است که آکریل آمید در اثر حرارت دهی مواد غذایی بر پایه نشاسته از قبیل چیپس و خلال سبب زمینی در دماهای بالاتر از $120^{\circ}C$ تشكیل می‌شود [۸]. اخیراً تحقیقات در زمینه ارائه مکانیسم‌های ممکن برای تشكیل آکریل آمید در مواد غذایی متتمرکز شده‌اند [۱۰]. برخی تیم‌های تحقیقاتی بین‌المللی واکنش قهوه‌ای شدن میلارد را به عنوان مسیر اصلی تشكیل آکریل آمید ذکر کرده‌اند [۱۱]. مقادیر قابل توجه آکریل آمید در اثر واکنش بین گروه کربونیل قندهای احیا کننده و گروه آمینو اسید آسپارژین در دماهای بالا تشكیل می‌شود [۱۲]. با توجه به

خالکن (Halldeh) مدل RG-100 ساخت سوئد) به صورت خاللهایی با ابعاد $8\text{xx}/8\text{xx}/8\text{xx}$ سانتی‌متر برش داده شدند. خالل‌های سبب زمینی خام بالا فاصله پس از برش به منظور حذف نشاسته سطحی به مدت ۱ دقیقه در آب مقطر شستشو شده سپس آنزیم بری خالل‌ها در آب مقطر داغ (با نسبت وزنی سبب زمینی به آب ۱ به ۲۰) به مدت ۱۰ دقیقه در دمای 70°C صورت گرفت [۲۵]. خالل‌های آنزیم بری شده در مرحله بعد وارد خشک کن قفسه‌ای شده و با جریان هوای گرم $50^{\circ}\text{C} \pm 70$ و سرعت 1 m/s تا رسیدن به رطوبت٪ ۷۵ براساس وزن مرتبط پیش خشک شدند [۲۶]. در نهایت خالل‌های پیش خشک شده، در روغن داغ با نسبت سبب زمینی به روغن ۱ به ۵۰ (وزنی/وزنی) در دماهای 160 ، 175 و 190°C (محدوه دمایی تجاری سرخ کردن) در سرخ کن (کتریکی Moulinex Deep Fryer) مدل AF-1001 ساخت فرانسه سرخ شدند [۲۷]. طی فواصل زمانی ۱، ۳، ۵ و ۱۰ دقیقه از شروع سرخ کردن جهت اندازه گیری آکریل آمید، قندهای احیا کننده، رطوبت و شاخص‌های رنگی از خالل‌ها نمونه برداری شد.

۲-۳-۲- اندازه گیری میزان رطوبت

برای اندازه گیری رطوبت، ۳-۵ گرم نمونه کاملاً خرد و همگن شده به مدت ۲۴ ساعت در آون خلا (Fine Tech) مدل SSVO-502 ساخت کره جنوبی تحت فشار 100 میلی‌متر جیوه و دمای 70°C خشک گردید [۲۸].

۲-۴- ارزیابی رنگ

اندازه گیری رنگ نمونه‌ها با استفاده از دستگاه رنگ سنج RGB-1002 (مدل RGB-1002) ساخت تایوان) صورت گرفت. داده‌های بدست آمده با استفاده از نرم افزار easyRGB به سیستم CIE بصورت شاخص‌های تیرگی-روشنی، قرمزی-سبزی و زردی-آبی تبدیل شدند. در این سیستم دامنه تغییرات شاخص تیرگی-روشنی از 0 تا 100 (هرچه اعداد به سمت 100 پیش می‌روند، تمایل به روشنی بیشتر است و در جهت 0 تمایل به تیرگی افزایش می‌یابد) و دامنه تغییرات دو شاخص دیگر از -100 تا $+100$ (در جهت -100 تمایل به قرمزی و زردی بیشتر است و در جهت $+100$ تمایل به سبزی و آبی افزایش می‌یابد) می‌باشد [۲۸].

۲-۵- اندازه گیری میزان قندهای احیا کننده

سبب زمینی قبل از سرخ کردن به علت کاهش زمان سرخ کردن نهایی می‌گردد [۲۰]. از تکنیک غوطه‌وری خالل سبب زمینی در نیتروژن مایع یا دی‌کلرو دی‌فلوئورو متان قبل از آنزیم بری نیز جهت کاهش قهقهه‌ای شدن سبب زمینی استفاده شده است [۲۱]. تأثیر پیش تیمار انجماد سطحی بر تغییرات رنگ طی سرخ کردن مورد بررسی قرار گرفته و گزارش شده است که تیمار مذکور سبب کاهش جذب روغن و بهبود رنگ خالل سرخ شده سبب زمینی می‌گردد [۲۲]. در مطالعه دیگری گزارش شده است که پوشش دهی خالل سبب زمینی با محلول‌های هیدروکلوریک سبب کاهش قرمزی و زردی محصول نهایی می‌گردد [۲۳]. تغییرات رنگ خالل سبب زمینی در ارتباط با نوع روغن، ضخامت خالل و دمای سرخ کردن موردنظر قرار گرفته و یک مدل تجربی در ارتباط با تغییرات متغیرهای مذکور ارائه شده است [۲۴]. با توجه به مطالب ذکر شده تا کنون مطالعه‌ای در زمینه تغییرات قندهای احیا کننده طی فرآیند سرخ کردن و ارتباط آن با سیستیک تغییرات رنگ و تشکیل آکریل آمید در دسترس نیست بنابراین هدف از این مطالعه بررسی سیستیک تغییرات قندهای احیا کننده، تشکیل آکریل آمید و تغییرات رنگ خالل سبب زمینی طی سرخ کردن در دماهای مختلف، بررسی ارتباط آن‌ها با یکدیگر و ارائه مدل‌های سیستیک مناسب جهت توصیف فرآیندهای مذکور می‌باشد.

۲- مواد و روش‌ها

۲-۱-۲- مواد

سبب زمینی با رقم آگریا (۲۳٪ ماده خشک، وزن مخصوص $1/08$ و میانگین قطر حداقل 10 سانتی‌متر) به میزان 100 کیلو-گرم از منطقه فریدن اصفهان و روغن گیاهی مخصوص سرخ کردنی بهار شامل محلولی از روغن آفتابگردان، سویا و تخم پنبه از کارخانه خریداری و در سرخانه دانشکده کشاورزی دانشگاه صنعتی اصفهان در دمای 40°C و رطوبت نسبی٪ ۹۰ نگهداری شدند.

۲-۲- تهیه خالل‌های سبب زمینی و سرخ کردن

سبب زمینی‌ها قبل از مصرف به مدت ۲ هفتگه در دمای 21°C قرار داده شدند و پس از شستشو و پوست گیری توسط دستگاه

حاصل به مدت ۴ ساعت در تاریکی با دمای 4°C قرار داده شد. پس از خروج از تاریکی به محلول موردنظر ۱ میلی لیتر سولفات سدیم $/2\text{ molal}$ اضافه شد و محلول نهایی به دکاتنور متقل گردید و 3 مرتبه، 1 ml/liter اتیل استات به دکاتنور اضافه گردید. پس از حذف حلال، فاز باقیمانده (حدود 1 ml/liter) به لوله اپندورف انتقال داده شد و 1 ml/liter تری اتیل آمین جهت تبدیل 2 و 3 - دی برومپروپنامید به 10 rpm سانتیفوژ شد و فاز شفاف رویی به دقیقه در 14000 rpm سانتیفوژ شد و فاز شفاف رویی به دستگاه کروماتوگرافی گازی (Agilent، مدل 6890 N) ساخت آمریکا، مشخصات ستون: 30 m طول، 0.25 mm میلیمتر قطر و 0.25 micrometer ضخامت، دمای ستون: 230°C ، گاز حامل: گاز هلیوم با جریان حجمی 2 ml/liter در دقیقه، حجم تزریق نمونه: 2 microliter مجهز به آشکارساز طیف سنج Mass Selective Detector (Agilent جرمی)، مدل 5973 ساخت آمریکا) تزریق گردید. زمان بازداری آکریل آمید در این مطالعه برابر با $11/8$ تا $11/8$ دقیقه بود. نمونه‌های استاندارد آکریل آمید با خلوص $99/8$ درصد در غلضت‌های 250 ، 500 و 1000 mg/ml میکرو گرم بر لیتر جهت رسم منحنی کالیبراسیون تهیه گردید. درصد بازیابی‌ها در این آزمایش برابر با $98/2$ و $102/6$ درصد محاسبه گردید. حداقل میزان تشخیص آکریل آمید برابر با 5 mg/ml میکرو گرم بر لیتر گزارش شده است [۲۰] و حداقل میزان اندازه گیری آکریل آمید در مطالعه حاضر برابر با $391/3\text{ mg/ml}$ میکرو گرم بر کیلو گرم بود.

۲-۷- مدل‌سازی سپتیکی

جهت توصیف تغییرات قندهای احیا کننده و آکریل آمید طی سرخ کردن از سیستیک نمایی (به ترتیب روابط ۱ و ۲) استفاده شد. تغییرات شاخص قرمزی-سبزی بر اساس سیستیک درجه صفر (رابطه ۴) مدل‌سازی شد و توصیف تغییرات شاخص‌های تیرگی-روشنی و زردی-آبی با استفاده از سیستیک درجه اول با اثر محدود کنندگی محصول (به ترتیب روابط ۳ و ۵) صورت گرفت [۳۱].

$$[AA] = \exp ((k_{AA} \cdot t) + B_{AA})$$

$$[RS] = Ln ((-k_{RS} \cdot t) + B_{RS})$$

$$L^* = L_{e*}^* \cdot (1 - \exp((-k_{I*} \cdot t) - B_{I*}))$$

$$a^* = (k_{a^*}, t) - B_{a^*} \quad \epsilon$$

اندازه‌گیری قدرهای احیاء کننده به روش اسپکتروفوتومتری با محلول ۳ و ۵-دی نیترو سالیسیلیک اسید در طول موج ۵۷۵ نانومتر انجام شد [۲۹]. مطابق با روش مذکور حدود ۳ گرم نمونه خرد و همگن شده با ۲۰ میلی لیتر اتانول ۷۰٪ داغ به مدت ۳۰ ثانیه ورتكس شد. پس از عبور دادن مخلوط از کاغذ صافی، محلول حاصله با آب مقطر به حجم ۵۰ میلی لیتر رسیده و به مدت ۱۰ دقیقه با سرعت ۳۰۰۰ دور در دقیقه سانتریفیوژ شد. سپس جهت حذف کلیه ناخالصی‌های غیر قندی، محلول مورد نظر از فیلتر ۴۵/۰ میکرون عبور داده شد. ۳ میلی لیتر از محلول صاف شده نهایی همراه با ۳ میلی لیتر از محلول ۱٪ دی نیترو سالیسیلیک اسید به درون لوله آزمایش انتقال یافت. نمونه شاهد (آب مقطر) و استانداردهای گلوکز (غاظت‌های ۵۰، ۱۰۰، ۲۰۰ و ۴۰۰ میلی گرم در لیتر گلوکز) نیز هر کدام به میزان ۳ میلی لیتر همراه با ۳ میلی لیتر محلول ۱٪ دی نیترو سالیسیلیک اسید به لوله‌های مجزا انتقال داده شدند. لوله‌ها به مدت ۱۵-۱۰ دقیقه جهت انجام واکنش و پیدایش رنگ قرمز مایل به ۹۰°C انتقال داده شدند. پس از خروج قهقهه‌ای به حمام آب ۱۰۰°C لوله‌ها از هریک از لوله‌ها ۱ میلی لیتر از محلول ۴۰٪ سدیم پتاسیم تارتارات (جهت پایداری کمپلکس رنگی) اضافه گردید و بلا فاصله لوله‌ها با آب سرد تا دمای محیط خنک شده و جذب هر نمونه با استفاده از اسپکتروفوتومتر (Unico 1200 uv-vis)، ساخت آمریکا در طول موج ۵۷۵ نانومتر تعیین گردید. پس از رسم منحنی کالیبره کردن (مقدار جذب به عنوان تابعی از غلظت) برای محلول‌های استاندارد و پیداکردن معادله خط، با داشتن مقدار جذب نمونه، غلظت قندهای احیا کننده در نمونه موردنظر تعیین شد. درصد بازیابی‌ها در این آزمایش برای با ۹۷.۵-۱۰۳٪ محسوسه گردید.

۶-۲- اندازه گیری میزان آکریل آمید

اندازه گیری آکریل آمید مطابق با روش ارائه شده در سال ۲۰۱۰ انجام شد [۳۰]. مطابق با روش مذکور ۵۰ گرم نمونه له شده ابتدا جهت حذف روغن به مدت ۳۰ دقیقه در ۱۰۰ میلی- لیتر هگزان قرار داده شد و پس از خروج از هگزان، ۱۰۰ میلی- لیتر آب مغطر به آن اضافه گردید و به مدت ۱ ساعت در حمام التراسونیک قرار داده شد. سپس مخلوط مورد نظر صاف گردید و به ۱۰۰ میلی لیتر از عصاره صاف شده ۳ گرم برومید پتابسیم، ۲ میلی لیتر برومات پتابسیم ۰/۱ مولار و ۱/۲ میلی لیتر اسید سولفوریک ۱۰٪ حجمی اضافه گردید و محلول

متقابل تیمارها به روش LS means در سطح اطمینان ۹۵٪ (P<0.05) انجام گرفت.

۳- نتایج و بحث

۳-۱- سینتیک کاهش قندهای احیا کننده و تشکیل آکریل آمید طی سرخ کردن

سینتیک کاهش قندهای احیا کننده و تشکیل آکریل آمید طی سرخ کردن خالل سبب زیمنی به ترتیب در شکل‌های ۱ و ۲ نشان داده شده‌اند. با توجه به شکل ۱، قندهای احیا کننده طی ابتدای فرآیند (تا دقیقه سوم) شبی نمودار انداز بوده و با ادامه فرآیند افزایش می‌یابد. از سوی دیگر افزایش دمای سرخ کردن نیز به طور معنی دار (P<0.05) سبب تشدید کاهش قندهای احیا کننده می‌گردد.

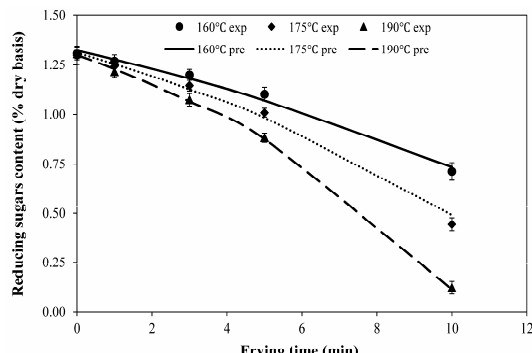


Fig 1 Kinetic of reducing sugars decrease during frying of potato strips at different temperatures.

Symbols represent experimental data; lines represent predicted values using the model.

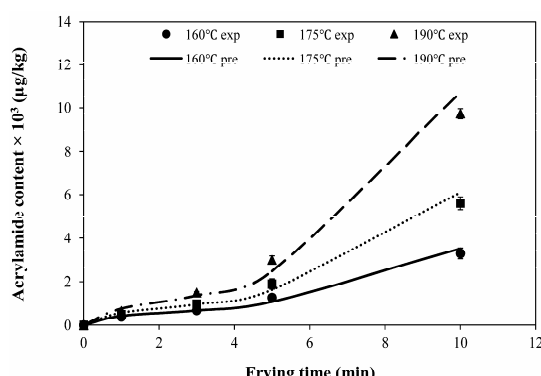


Fig 2 Acrylamide content during frying of potato strips at different temperatures. Symbols represent experimental data; lines represent predicted values using the model.

$b^* = b_e^* \cdot (1 - \exp(-k_{b^*} \cdot t - B_{b^*}))$ ^۵
در روابط ۱-۵ عبارات [AA], [RS]، b^* ، a^* ، L^* ، b به ترتیب نشان دهنده مقدار آکریل آمید، قندهای احیا کننده، ساخته تیرگی-روشنی، ساخته قرمزی-سبزی و ساخته زردی-آبی هستند و t نشان دهنده زمان فرآیند می‌باشد. در روابط مذکور سرعت مربوط به فرآیندهای تشکیل آکریل آمید، کاهش قندهای احیا کننده و تغییرات ساخته‌های رنگی خالل طی سرخ کردن هستند و B_{b^*} ، B_{a^*} ، B_{L^*} ، B_{RS} ، B_{AA} نیز فاکتورهای بدون بعد مربوط به هر فرآیند می‌باشند. منظور از L^* و a^* در روابط ۳ و ۵ مقدار ساخته‌های تیرگی-روشنی (به ترتیب برابر با ۶۵/۶۱، ۷۰/۲۳، ۶۳/۴۶ و ۶۵/۱۱ در دماهای ۱۶۰، ۱۷۵ و ۲۱/۱۶، ۲۰/۰۲ و ۱۹۰°C) و زردی-آبی (به ترتیب برابر با ۱۷۵، ۱۶۰ و ۲۲۳/۱۸ در دماهای ۱۶۰، ۱۷۵ و ۱۹۰°C) در پایان سرخ کردن (دقیقه دهم) است. برای بیان وایستگی دمایی ثابت‌های سرعت از رابطه آرنیوس (رابطه ۶) استفاده شد [۳۱].

$$k = k_0 \cdot \exp\left(-\frac{E_a}{RT}\right) \quad 6$$

عبارات R ، E_a ، k_0 و T در رابطه ۶ به ترتیب نشان دهنده ثابت سرعت در دمای T (1/s)، ثابت آرنیوس، انرژی فعال سازی (kJ/mol)، ثابت جهانی گازها ($8.۳۱۴ \text{ J/mol} \cdot \text{K}$) و دمای مطلق آنزیم بری (0°K) می‌باشند. اعتبار سنجی مدل‌های سینتیکی با استفاده از فاکتور ریشه میانگین مربعات خطأ (رابطه ۷) صورت گرفت [۱۷].

$$\text{RMSE} = \sqrt{\frac{1}{N} \sum_{i=1}^N \left(\frac{y_{\text{exp}} - y_{\text{cal}}}{y_{\text{exp}}} \right)^2} \quad 7$$

عبارات RMSE ، y_{exp} و y_{cal} در معادله ۷ به ترتیب نشان دهنده ریشه میانگین مربعات خطأ، مقادیر آزمایشی، مقادیر پیش‌بینی شده و تعداد داده‌ها هستند.

۸-۲- تجزیه و تحلیل آماری

کلیه آزمایشات بصورت فاکتوریل در قالب طرح کاملاً تصادفی با سه تکرار انجام شدند. تحلیل آماری اثر دما بر ثابت‌های سرعت بر اساس طرح کاملاً "تصادفی" صورت گرفت. تجزیه و تحلیل داده‌ها با استفاده از نرم‌افزار SAS و رسم نمودارها با نرم افزار Excel انجام شد. آزمون مقایسه میانگین داده‌ها به روش حداقل تفاوت معنی دار (LSD) و آزمون اثر

جهت ممانعت از تشکیل مقادیر بالای آکریل آمید در محصولات سرخ شده سبب زمینی توصیه شده است که دمای فرآیند از $170-175^{\circ}\text{C}$ تجاوز نکند [۳۲]. مدل‌های سیستیکی نمایی (شکل‌های ۱ و ۲) انطباق بالایی با مقادیر آزمایشگاهی قندهای احیا کننده و آکریل آمید نشان داد (RMSE % به ترتیب برابر با $2/1-4/9$ و $8/1-2/3$ در محدوده دمایی $160-190^{\circ}\text{C}$).

مقادیر ثابت سرعت به دست آمده در این مطالعه ($-0/293$ در محدوده دمایی $160-190^{\circ}\text{C}$) برای فرآیند تشکیل آکریل آمید نزدیک به مقادیر گزارش شده [۳۳] با استفاده از مدل لجستیکی-نمایی (به ترتیب برابر با $0/29$ و $0/33$ در دماهای 150 و 180°C) برای ورقه‌های سبب زمینی است و کمتر از مقادیر گزارش شده [۳۴] با استفاده از مدل لجستیکی-فرمی (به ترتیب برابر با $1/3$ و 3 در دمایهای 160 و 190°C) برای ورقه‌های سبب زمینی می‌باشد. با توجه به شکل ۵، افزایش دمای سرخ کردن سبب افزایش معنی دار ($P<0/05$) ثابت سرعت فرآیندهای کاهش قندهای احیا کننده و تشکیل آکریل آمید می‌گردد و ارزی فعال‌سازی فرآیندهای مذکور به ترتیب برابر با $22/4$ و $12/3 \text{ kJ/mol}$ در محدوده دمایی $160-190^{\circ}\text{C}$ به دست آمد. افزایش دما تأثیر بیشتری بر ثابت سرعت فرآیند کاهش قندهای احیا کننده داشته است به طوری که با افزایش دما از 160°C تا 190°C ثابت سرعت فرآیند مذکور حدود $52/3\%$ افزایش یافته در حالی که ثابت سرعت فرآیند تشکیل آکریل آمید $24/9\%$ افزایش یافته است.

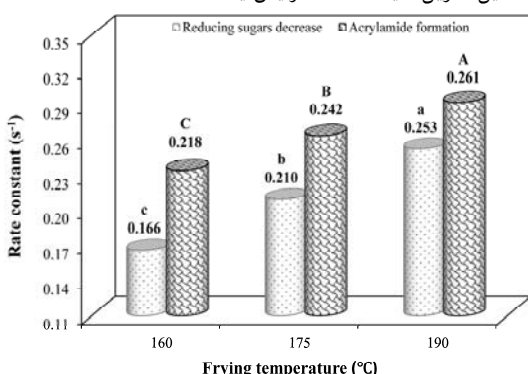


Fig 5 The rate constant of reducing sugars decrease and acrylamide formation processes at different temperatures. Different alphabets indicate significant difference ($P<0.05$).

۲-۳- سیستیک تغییرات رنگ طی سرخ کردن

سیستیک تغییرات شاخص تیرگی-روشنی خالل سبب زمینی طی سرخ کردن در دمایهای مختلف در شکل ۶ نشان داده شده

میزان آکریل آمید با افزایش دما و زمان سرخ کردن به طور معنی دار ($P<0.05$) و با الگوی نمایی افزایش می‌یابد (شکل ۲). مشابه با کاهش قندهای احیا کننده، افزایش آکریل آمید نیز در ابتدای فرآیند (تا دقیقه سوم) انک بوده و با ادامه فرآیند افزایش می‌یابد. با توجه به شکل ۳، با کاهش قندهای احیا کننده طی سرخ کردن میزان آکریل آمید به صورت خطی افزایش می‌یابد.

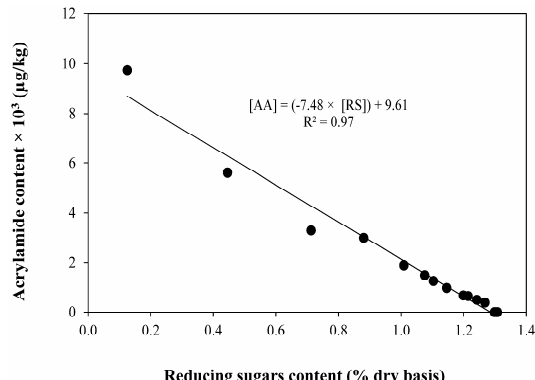


Fig 3 Acrylamide content vs. reducing sugars content for potato strips fried at 160 , 175 and 190°C . [AA] and [RS] represent acrylamide and reducing sugars content respectively.

مشابه با نتایج به دست آمده در این مطالعه گزارش شده است که در شروع فرآیند سرخ کردن مقدار تشکیل آکریل آمید ناچیز بوده و با افزایش دما و زمان سرخ کردن به علت دهیدراته شدن محصول و مناسب‌تر شدن شرایط رطوبتی جهت انجام واکنش می‌لارد، افزایش می‌یابد [۷]. نتایج مربوط به تغییرات محتوای رطوبت خالل سبب زمینی طی سرخ کردن در دمایهای مختلف در شکل ۴ نشان داده شده است. مطابق با شکل مذکور با افزایش دما و زمان سرخ کردن محتوای رطوبت خالل کاهش می‌یابد که سرعت کاهش رطوبت در ابتدای فرآیند زیاد بوده و به تدریج کاهش می‌یابد.

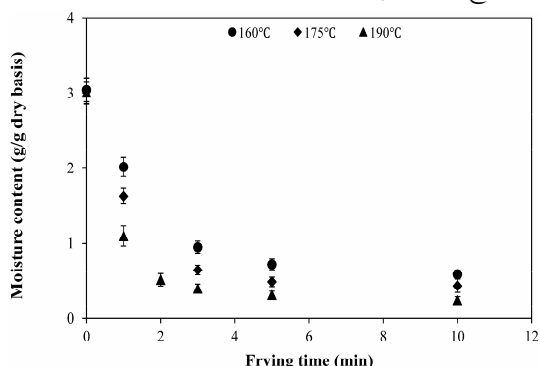


Fig 4 Kinetic of moisture changes during frying of potato strips at different temperatures.

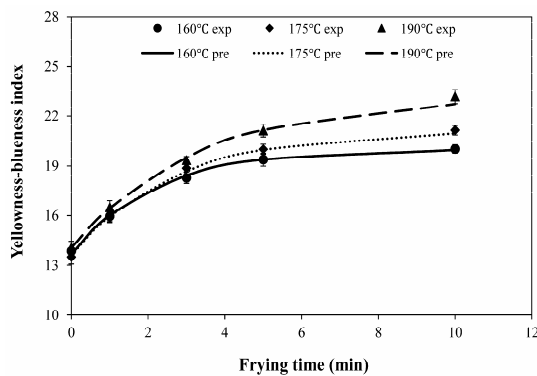


Fig 8 Yellowness-blueness index changes of potato strips during frying at different temperatures.

Symbols represent experimental data; lines represent predicted values using the model.

گزارش شده است که افزایش دما و زمان سرخ کردن به علت تسريع واکنش میلارد، تشکیل آکریل آمید و پیگمان های رنگی سبب افزایش قرمی ورقه و خلال سبب زمینی می گردد و در دماهای پایین تر می توان به محصولی با رنگ روشن تر و آکریل آمید کمتر دست یافت [۱۲، ۳۲]. با توجه به شکل های ۶، ۷، ۸ و ۹ به ترتیب مدل های سیستیکی درجه اول با اثر محدود کنندگی محصول، درجه صفر و درجه اول با اثر محدود کنندگی محصول قابلیت انطباق بالایی (به ترتیب %RMSE) برابر با ۱۹۰°C در محدوده دمایی ۳۹-۲۱°C، ۰/۳-۱/۳-۰/۹-۰/۷-۰/۳-۰/۹ با داده های آزمایشگاهی مربوط به شاخص های تیرگی-روشنی، قرمی-سبزی و زردی-آبی خلال نشان داده اند. تأثیر دما بر ثابت سرعت فرآیندهای تغییر شاخص های رنگی طی سرخ کردن در شکل ۹ نشان داده شده است. با توجه به شکل مذکور افزایش دمای فرآیند به طور معنی دار ($P < 0.05$) سبب افزایش ثابت سرعت فرآیندهای تغییر شاخص های قرمی-سبزی، زردی-آبی و تیرگی-روشنی خلال شده است. مطابق با شکل ۹، افزایش دما بیشترین تأثیر (۱۲۴/۷٪ افزایش قرمی) را بر ثابت سرعت فرآیند تغییرات شاخص قرمی-سبزی داشته است.

است. با توجه به شکل مذکور، در ابتدای فرآیند سرخ کردن (تا دقیقه سوم) شاخص تیرگی-روشنی خلال به طور معنی دار ($P < 0.05$) افزایش می یابد و سپس تا انتهای فرآیند تقریباً ثابت می ماند. از سوی دیگر افزایش دما بر روشنایی خلال اثر منفی داشته و سبب کاهش معنی دار ($P < 0.05$) شاخص تیرگی-روشنی می شود.

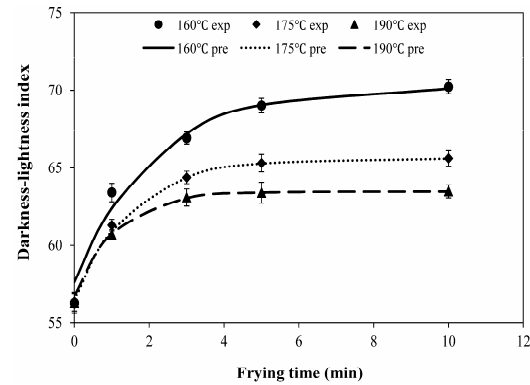


Fig 6 Darkness-lightness index changes of potato strips during frying at different temperatures.

Symbols represent experimental data; lines represent predicted values using the model.

افزایش دما و زمان سرخ کردن همچنین سبب افزایش معنی دار ($P < 0.05$) شاخص قرمی-سبزی خلال ها گردید (شکل ۷). شاخص زردی-آبی خلال نیز در ابتدای فرآیند (تا دقیقه پنجم) با شبیب زیادی افزایش یافته و سپس تقریباً ثابت گردید. از سوی دیگر شاخص مذکور با افزایش دمای سرخ کردن به طور معنی دار ($P < 0.05$) افزایش یافت (شکل ۸).

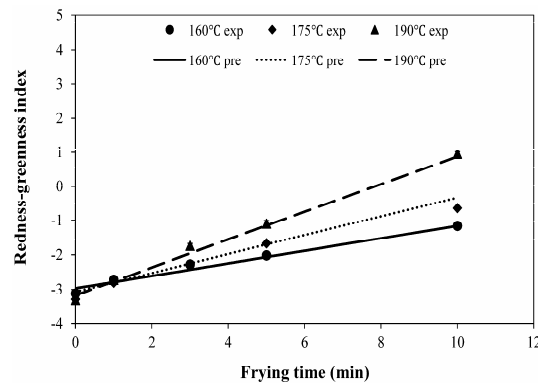


Fig 7 Redness-greenness index changes of potato strips during frying at different temperatures.

Symbols represent experimental data; lines represent predicted values using the model.

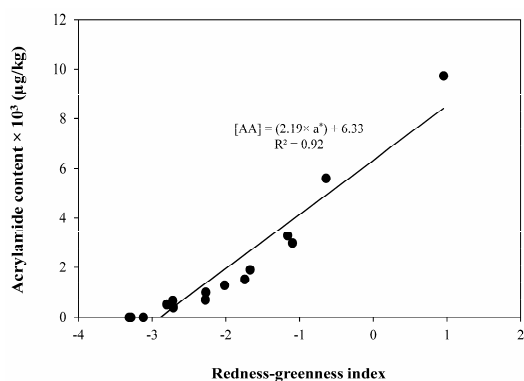


Fig 11 Acrylamide content vs. redness-greenness index for potato strips fried at 160, 175 and 190 °C. [AA] and a^* represent acrylamide content and redness-greenness index respectively.

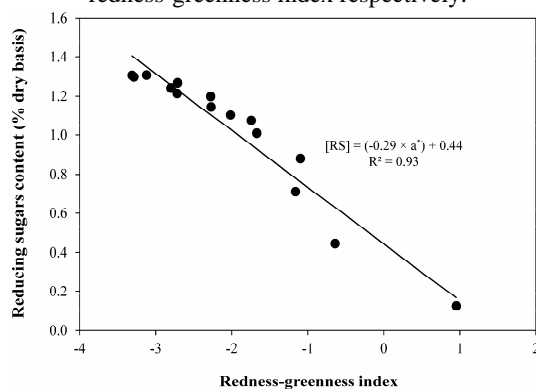


Fig 12 Reducing sugars content vs. redness-greenness index for potato strips fried at 160, 175 and 190 °C. [RS] and a^* represent reducing sugars content and redness-greenness index respectively.
مشابه با نتایج به دست آمده در این مطالعه، گزارش شده است
که تشكیل آکریل آمید با تغییرات شاخص قرمزی-سبزی طی سرخ کردن ورقه های سبب زمینی به صورت الگویی خطی در ارتباط است [۱۲].

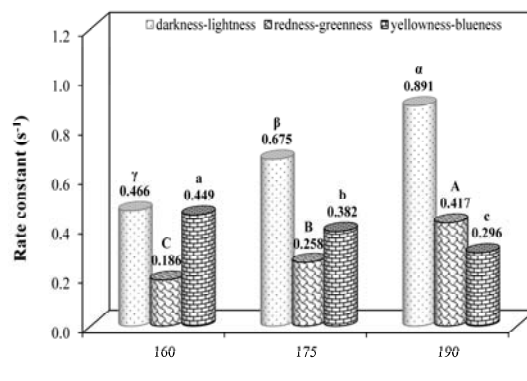


Fig 9 The rate constant of potato strips color indexes changes during frying at different temperatures. Different alphabets indicate significant difference ($P<0.05$).

بررسی انرژی فعالسازی فرآیندهای تغییر شاخصهای رنگی طی سرخ کردن (شکل ۱۰) نشان داد که بیشترین مقدار انرژی فعالسازی مربوط به فرآیند افزایش شاخص قرمز-سبزی است.

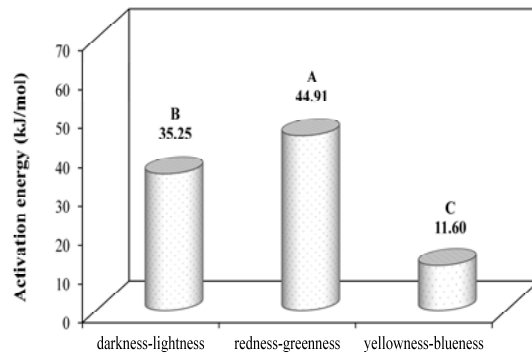


Fig 10 Activation energy of potato strips color indexes changes at the temperature range of 160-190 °C. Different alphabets indicate significant difference ($P<0.05$).

انرژی فعالسازی نشان دهنده میزان حساسیت حرارتی شاخصهای رنگی سبزیجات است و هرچه مقدار آن بیشتر باشد حساسیت حرارتی نیز بیشتر خواهد بود [۳۵]. بنابراین با توجه به شکل ۱۰، حساس‌ترین شاخص رنگی خلال سبب زمینی نسبت به دمای سرخ کردن شاخص قرمزی-سبزی است. در این مطالعه همچنین مشخص گردید که شاخص قرمزی-سبزی به صورت الگوی خطی با میزان آکریل آمید و قند احیا کننده باقیمانده در خلال در ارتباط است (به ترتیب شکل‌های ۱۱ و ۱۲).

۴- نتیجه گیری

در مطالعه حاضر سینتیک تشكیل آکریل آمید، کاهش قندهای احیا کننده و تغییر رنگ خلال سبب زمینی طی سرخ کردن در دماهای مختلف مورد بررسی قرار گرفت. نتایج نشان داد که:
(۱) افزایش دما و زمان سرخ کردن به طور معنی دار ($P<0.05$) سبب افزایش تشكیل آکریل آمید و کاهش قندهای احیا کننده در خلال می گردد.
(۲) ارتباط میزان آکریل آمید و قندهای احیا کننده طی سرخ کردن به صورت خطی است.
(۳) افزایش دما و زمان سرخ کردن سبب افزایش معنی دار شاخصهای تیرگی-روشنی، قرمزی-سبزی و زردی-آبی خلال سبب زمینی می گردد و شاخص قرمزی-سبزی دارای بیشترین حساسیت

- Thermal Processing with a Focus on Frying. *Food Bioprocess Technology*. 1:35–42.
- [8] Tareke, E., Rydberg, P., Karlsson, P., Eriksson, S., and Tornqvist, M. 2002. Analysis of acrylamide, a carcinogen formed in heated foodstuffs. *Journal of Agricultural and Food Chemistry*. 50: 4998-5006.
- [9] Rosen, J., and Hellenas, K.E. 2002. Analysis of acrylamide in cooked foods by liquid chromatography tandem mass spectrometry. *Analyst*, 127: 880–882.
- [10] Zyzak, D., Sanders, R.A., Stojanovic, M., Tallmadge, D.H., Ebehart, L., and Ewald, D.K. 2003. Acrylamide formation mechanism in heated foods. *Journal of Agricultural and Food Chemistry*. 51: 4782–4787.
- [11] Pedreschi, F., Mariotti, S., Granby, K., and Risum, J. 2011. Acrylamide reduction in potato chips by using commercial asparaginase in combination with conventional blanching. *Lebensmittel-Wissenschaft und Technologie*. 44: 1473–1476.
- [12] Coughlin, J.R. 2003. Acrylamide: what we have learned so far. *Food Technology*. 57: 100-101.
- [13] Pedreschi, F., Kaack, K., Granby, K. 2006. Acrylamide content and color development in fried potato strips. *Food Research International*. 39: 40–46.
- [14] Pedreschi, F., Kaack, K., and Granby, K. 2004. Reduction of acrylamide formation in fried potato slices. *Lebensmittel-Wissenschaft und Technologie*. 37: 679–685.
- [15] Knol, J., Viklund, G., Linssen, J., and Sjoholm, L. 2008. A study on the use of empirical models to predict the formation of acrylamide in potato crisps. *Journal of Food Research*. 52: 313-321.
- [16] Bassama, J., Bart, P., Bohuon, P., Hocine, B., Boulanger, R., and Gunata, Z. 2011. Acrylamide kinetic in plantain during heating process: Precursors and effect of water activity. *Food Research International*. 44: 1452-1458.
- [17] Pedreschi, F., Travisan, X., Troncoso C.R.E, and Pedreschi, R. 2009. Kinetics of extraction of reducing sugar during blanching of potato slices. *Journal of Food Engineering*. 91: 443–447.
- [18] Benford, D., Ceccatelli, S., Cottrill, B., and Dinovi, M. 2015. Scientific opinion on acrylamide in food. *European Food Safety Authority Journal*. 13: 4104-4105.

حرارتی است. ۵) شاخص قرمزی-سیزی خالل با مقدار آکریل آمید و قندهای احیا کننده به صورت خطی در ارتباط است و ۶) جهت توصیف تشکیل آکریل آمید، کاهش قندهای احیا کننده، تغییر شاخص‌های تیرگی-روشنی، قرمزی-سیزی و زردی آبی طی سرخ کردن به ترتیب می‌توان از مدل‌های سینتیکی نمایی، نمایی، درجه اول با اثر محدود کنندگی محصول، درجه صفر و درجه اول با اثر محدود کنندگی محصول استفاده نمود. با استفاده از نتایج به دست آمده در این مطالعه و بررسی سینتیک تغییرات بافت خالل سبب زمینی طی سرخ کردن می‌توان بهترین شرایط دما و زمان را از نظر کمترین سطح آکریل آمید و مناسب‌ترین خصوصیات رنگی و بافتی محصول نهایی تعیین نمود.

۵- منابع

- [1] Bingo, G., Wang, B., Zang, A., Pan, Z., and Hugh, T.H.M. 2014. Comparison of water and infrared blanching methods for processing performance and final product quality of French fries. *Journal of Food Engineering*. 121: 135–142.
- [2] Jimenez, M.E., Rossi, A.M., and Samman, N.C. 2015. Changes during Cooking Processes in 6 Varieties of Andean Potatoes. *American Journal of Plant Sciences*. 6: 725-736.
- [3] Buckenhuskes, H.J. 2005. Nutritional Relevant Aspect of Potatoes and Potato Constituents. In: Haverkort, A.J. and Struik, P.C., Eds., *Potato in Progress—Science Meets Practices*, Wageningen Academic Publishers, Wageningen, Netherlands. 17-26.
- [4] Gordon, R.B. 1990. *Snack food*, Van Nostrand Reinhold, New York. 256-258.
- Miranda, M.L., Aguilera, J.M. 2006. Structure and Texture Properties of Fried Potato Products. *Food Reviews International*. 22: 173-201.
- [5] Moyano, P., Troncoso, E., and Pedreschi, F. 2007. Modeling texture kinetics during thermal processing of potato products. *Journal of Food Science*. 72: 102–107.
- [6] Lingnert, H., and Wailer, G.R. 1983. Stability of antioxidants formed from histidine and glucose by the Maillard reaction. *Journal of Agricultural and Food Chemistry*. 31:27–30.
- [7] Gokmen, V., and Palazoglu, T.K. 2008. Acrylamide Formation in Foods during

- [28] Pedreschi, F., Leon, J., Mery, D., Moyano, P. 2006. Implementation of a computer vision system to measure the color of potato chips. *Food Research International.* 39: 1092–1098.
- [29] Miller, G. 1959. Use of dinitrosalicylic acid reagent for determination of reducing Sugar. *Analitical Chemistry.* 31: 426–428.
- [30] Zeng, X., Cheng, K.W., Du, Y., Kong, R., Lo, C., and Chu, I.K. 2010. Activities of hydrocolloids as inhibitors of acrylamide formation in model systems and fried potato strips. *Food Chemistry.* 121: 424–428.
- [31] Villota, R., and Hawkes, J.G. 1992. Reaction kinetics in food systems. In: *Handbook of food Engineering*, D.R. Heldman, D.B. Lund, eds. Marcel Dekker, New York.
- [32] Vinci, R.M., Mestdagh, F., and Meulenaer, B.D. 2012. Acrylamide formation in fried potato products – Present and future, a critical review on mitigation strategies. *Food Chemistry.* 133: 1138-1154.
- [33] Gokmen, V., and Senyuva, H.Z. 2006. Study of colour and acrylamide formation in coffee, wheat flour and potato chips during heating. *Food Chemistry.* 99: 238 –243.
- [34] Kita, A., Brathen, E., Knutsen, S.H., and Wicklund, T. 2004. Effective ways of decreasing acrylamide content in potato crisps during processing. *Journal of Agricultural and Food Chemistry.* 52: 7011 – 7016.
- [35] Goncalves, E.M., Pinheiro, J., Abreu, M., Brando, T.R.S., and Silva, C.L.M. 2010. Carrot (*Daucus carota L.*) peroxidase inactivation, phenolic content and physical changes kinetics due to blanching. *Journal of Food Engineering.* 97: 574-581.
- [19] Brown, M.S., and Morales, J.W. 1970. Determination of blanching conditions for frozen par-fried potatoes. *American Potato Journal.* 47: 323-325.
- [20] Gokmen, V., Palazoglu, T.K., and Senyuva, H.Z. 2006. Relation between the acrylamide formation and time-temperature history of surface and core regions of French fries. *Journal of Food Engineering.* 77: 972–976.
- [21] Miller, R.A., Harrington, J.D., and Kuhn, G.P. 1975. Effect of variety and harvest data on tuber sugars and chip color. *American Potato Journal.* 53: 379-380.
- [22] Toma, R.B., Leung, H.K., Augustin, J., and Iritani, W.M. 1986. Quality of french fried potatoes as affected by surface freezing and specific gravity of raw potatoes. *Journal of Food Science.* 51: 1213-1214.
- [23] Khalil, A.H. 1999. Quality of french fried potatoes as influenced by coating with hydrocolloids. *Food Chemistry.* 66: 201-208.
- [24] Krokida, M.K., Oreopolou, V., Maroulis, Z.B., and Marinos-Kouris, D. 2001. Colour changes during deep fat frying. *Journal of Food Engineering.* 49: 219–225.
- [25] Mestdagh, F., De Wilde, T., Fraselle, S., Govaert, Y., Ooghe, W., Degroodt, J., Verhe, R., Peteghem, C., and Meulenaer, B. 2008. Optimization of the Blanching Process to Reduce Acrylamide in Fried Potatoes. *Food Science and Technology.* 41: 1648-1654.
- [26] Miranda, M.L., and Aguilera, J.M. 2006. Structure and Texture Properties of Fried Potato Products. *Food Reviews International.* 22: 173-201.
- [27] AOAC. 1984. Association Official Analytical Chemists. *The official methods of analysis.* Method 28.074. Arlington. VA: AOAC.

Kinetics of reducing sugars decreasing, acrylamide formation and color changes during frying of potato strips

Beyki, H. ^{1*}, Hamdami, N. ², Shahedi, M. ³, Goli A. H. ⁴, Poortaghi, J. ⁵, Ariashad, M. ⁶

1. Master of food engineering, Department of Food Science and Technology, Faculty of Agriculture, Isfahan University of Technology, Isfahan, Iran.
2. Associate Professor, Department of Food Science and Technology, Faculty of Agriculture, Isfahan University of Technology, Isfahan, Iran.
3. Professor, Department of Food Science and Technology, Faculty of Agriculture, Isfahan University of Technology, Isfahan, Iran.
4. Assistant Professor, Department of Food Science and Technology, Faculty of Agriculture, Isfahan University of Technology, Isfahan, Iran.
5. Bachelor of food science, Faculty of Agriculture, Department of Food Science and Technology, Ferdowsi University of Mashhad.
6. Bachelor of food science, Member of the board of directors of Astane ghods razavi factories.

(Received: 2016/05/06 Accepted: 2017/04/10)

With regard to possibility of the acrylamide carcinogenicity, increasing expansion of fried potato products industry and high consumption of these products in the country, the study and modeling of phenomena involved in the process of these products are seems necessary. The aim of this study was to investigate the kinetics of decreasing of reducing sugars, acrylamide formation and color changes during frying of potato strips. The results showed that decreasing of reducing sugars and acrylamide formation are occurring with the exponential patterns during frying and increasing temperature and time of frying are intensifies these phenomena significantly ($P<0.05$). On the other side increasing of frying temperature was decreased the darkness-lightness index and was increased the redness-greenness and yellowness-blueness indexes significantly ($P<0.05$). The darkness-lightness and redness-greenness indexes were increased ($P<0.05$) with increasing of frying time initially and were remained almost constant afterwards, while the yellowness-blueness index was increased ($P<0.05$) linearly with frying time increasing. The results also showed that the exponential kinetic have the most conformity with experimental data of reducing sugars decreasing and acrylamide formation. Based on the results darkness-lightness and yellowness-blueness indexes changes during frying are follow the first order kinetic with production rate limiting effect while the zero order kinetic was showed the most conformity with redness-greenness index changes.

Keywords: Acrylamide, Color indexes, Frying, Kinetic model, Reducing sugar.

*Corresponding Author E-Mail Address: h.beyki@ag.iut.ac.ir